

# 域椭圆曲线点乘的 VLSI 实现方法研究

李超, 张强, 曲英杰

(青岛科技大学 信息科学与技术学院, 山东 青岛 266061)

**摘要:** 为了实现椭圆曲线密码算法的高效性, 提出了基于优化的底层有限域算法的点乘设计方法; 基于对二进制有限域运算的研究, 提出并行模乘算法和基于欧几里得算法的右移求逆算法, 并在实现中进行优化, 在此基础上采用蒙哥马利算法实现点乘的快速运算; 根据该算法, 提出了 ECC 硬件电路实现方法, 并用 Verilog RTL 进行逻辑设计, 最终在 Xilinx 的 XC7A100T FPGA 硬件平台上验证实现; 通过仿真测试、综合验证和时序后仿真的结果分析, 所设计电路的时钟频率可以达到 110 MHz, 运算速度可达 2.92 ms, 证明了设计的有效性和可行性。

**关键词:** 椭圆曲线密码; 二进制域; 点乘; 模乘; 模逆

## Research and Implementation of Point Multiplication Over Elliptic Curve $F_2^m$ Based on VLSI

Li Chao, Zhang Qiang, Qu Yingjie

(School of Information Science & Technology, Qingdao University of Science and Technology, Qingdao 266061, China)

**Abstract:** To realize the elliptic curve cryptography (ECC) effectively, the design method of modular multiplication based on optimized binary finite field algorithm was presented. By the study of the binary finite fields, paralleled modular multiplication algorithm and inversion algorithm which was based on Euclidean algorithm were presented. The two algorithms were optimized during the process and then realized the fast evaluation of point multiplication by adopting Montgomery algorithm. ECC hardware implementation design was proposed based on the algorithm, and converted to logic designs using Verilog RTL, finally it worked on the XC7A100T FPGA platform of Xilinx. By pre-simulation, synthetical verification and analyzing the results of post simulation, the clock frequency of the designed circuit could reach up to 110MHz and the operating rate attained to 2.92 ms which demonstrated the feasibility and effectiveness of the project.

**Keywords:** elliptic curve cryptography;  $GF(2^m)$ ; point multiplication; modular multiplication; modular inversion

### 0 引言

椭圆曲线密码算法 (elliptic curve cryptography, ECC) 因其密钥长度小、安全强度高、便于硬件实现等优点, 广泛的被用于硬件实现的加密系统中<sup>[1]</sup>。其中, 点乘运算是实现椭圆曲线密码高效性的前提条件, 而有限域算术运算的有效实现则是点乘的关键<sup>[2]</sup>。目前广泛采用的  $GF(2^m)$  点乘算法实现主要是分别设计底层的有限域运算单元, 然后通过协处理器或者其他控制电路来调用底层其他各功能单元<sup>[3]</sup>。所以研究并有效实现域运算层的各个模块是研究基于 FPGA 的 ECC 点乘运算的关键。通过研究近年的实现方案, 文献 [4] 采用 Montgomery 点乘算法实现并行调度分解, 跳过点加和倍点的调用过程, 解决了顶层调用复杂的问题, 提高了顶层的运算速度, 但其底层四路的调度缓慢且复杂, 导致资源开销较大。文献 [5] 中对于底层域乘法运算的实现, 虽然在运算过程中对算法进行了改进, 在运算过程中同时完成了相乘和取模运算, 节约了资源, 但是却牺牲了运算速度和效率。考虑硬件电路实现的特点和优

势, 本文采用  $GF(2^m)$  内的椭圆曲线作为硬件的实现方案, 选用实现效率高的蒙哥马利点乘算法, 通过设计并行的模乘算法和改进的模逆算法, 实现点乘运算的电路结构设计, 取得了良好效果。

### 1 椭圆曲线加密系统

二进制有限域  $GF(2^m)$  上的 Weierstrass 方程如式 (1) 所示:

$$y^2 + xy = x^3 + ax^2 + b, a, b \in GF(2^m), b \neq 0 \quad (1)$$

当  $b=1$  时称为 Koblitz 曲线。此类曲线在椭圆曲线密码体制的实现中速度是最快的。椭圆曲线密码方案的安全性问题是基于椭圆曲线的离散对数问题 (elliptic curve discrete logarithm problem, ECDLP), 这也是它优于包括 RSA 在内等公钥密码体制的原因。椭圆曲线离散对数问题是: 给定有限域  $F_q$  和定义在其域上的椭圆曲线  $E(F_q)$ , 若已知椭圆曲线上的点  $P$ , 求  $Q = KP$  很容易, 但是反过来, 在已知  $P$  和  $Q$ , 求  $K$  值就非常困难, 这样就可以把  $Q$  看做为公钥,  $K$  为私钥<sup>[6]</sup>, 这就是椭圆曲线的点乘原理。由于在 ECC 中, 多项式  $f(x)$  为稀疏多项式, 且多用三项式或者五项式, 即  $f(x)$  的二进制表示仅仅只有 3 或者 5 位为 1, 其余值全为 0。在后文的讨论中, 本文采用的都是三项式基  $f(x) = x^{233} + x^{74} + 1$ , 即  $m = 233$ 。

### 2 有限域运算的电路结构设计

为了顺利实现点乘算法, 本文将重点放在设计有限域运算

收稿日期: 2017-05-18; 修回日期: 2017-06-06。

基金项目: 山东省科技计划项目(2013YD01038)。

作者简介: 李超(1990-), 男, 山东枣庄人, 硕士研究生, 主要从事集成电路设计与嵌入式系统方向的研究。

曲英杰(1964-), 男, 山东青岛人, 博士, 教授, 硕士生导师, 主要从事集成电路设计与数据加解密方向的研究。

模块上, 该模块可以完成有限域上的加减法、模乘、模逆和除法运算。其中, 二进制域的加减法器结构简单, 可采用逐位异或的电路结构处理<sup>[7]</sup>, 即用  $N$  个异或门实现, 在时钟上升沿且复位电平无效时, 在一个周期内即可完成  $m$  位数据的逐位异或, 实现简单且速度较快, 如图 1 所示。

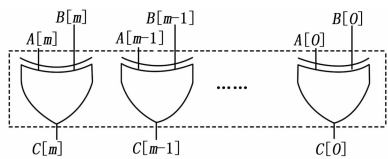


图 1 模加(减)异或门

### 2.1 模乘算法分析与改进

模乘运算是椭圆曲线点乘运算高效实现的关键, 用域元素  $a, b \in GF(2^m)$  分别表示多项式  $A(x) = a_{m-1}x^{m-1} + \dots + a_1x + a_0$  和  $B(x) = b_{m-1}x^{m-1} + \dots + b_1x + b_0$ , 则域元素  $a$  与  $b$  的乘积公式为:

$$P(x) = A(x) \times B(x) \bmod F(x) = \sum_{i=0}^{m-1} \sum_{j=0}^{m-1} a_i b_j x^{i+j} \bmod F(x)$$

这里  $F(x)$  是域不可约多项式。

从乘积公式可以看出, 模乘的过程包括相乘和取模两个过程。传统的乘法是将两个  $m$  位操作数相乘, 然后对其进行  $f(x)$  求模。二进制域上的乘法实现有多种形式, 主要有串行结构, 并行结构, 串并相结合的数位并行结构。为了提高模乘算法的效率, 参照文献 [7] 中所介绍的典型移位串行算法, 并对其进一步优化, 其中文献 [7] 中的算法如下:

输入:  $A(x) = a_{m-1}x^{m-1} + \dots + a_1x + a_0$ ,  $B(x) = b_{m-1}x^{m-1} + \dots + b_1x + b_0$ , 不为零的最高位为  $m$  的多项式  $f(x)$ 。

输出:  $a(x) \cdot b(x) \bmod f(x)$ 。

- 1) 若  $a^{-1} \bmod f(x) = 1$ , 则有  $C=B$ , 否则  $C=0$ ;
- 2)  $i$  从 1 到  $n-1$  循环;
  - (1)  $b = (b \ll 1) \bmod f(x)$ ;
  - (2) 若  $a_i = 1$ , 则  $c = c \bmod b$ ;

3) 返回  $c$ 。

该算法通过串行移位的方法, 一个时钟进行一次移位的操作, 然后进入下一步的异或运算, 那么完成  $m$  位的运算则需要  $m$  个 clock, 所需时间较长。根据二进制模约减运算的特点, 在求模运算中, 其实是判断被模数的最高位数值。最高位为 1 的话, 就将被模数与  $f(x)$  进行异或处理; 反之不变, 保留原值。故可以考虑采用并行的思想, 可以首先并行的得到 (1) 步骤中所有  $b_i$  的值, 然后采用并行的方式完成步骤 (2) 中的运算。改进算法描述如下:

输入:  $a, b \in GF(2^m), a \neq 0, b \neq 0$ , 约减多项式  $f(x)$ 。

输出:  $c = a \cdot b \bmod f(x)$ 。

- 1) 若  $a^{-1} \bmod f(x) = 1$ , 则有  $C=B$ , 否则  $C=0$ ;
- 2)  $i$  从 1 到  $n-1$  循环
  - (1)  $b = b \ll 1$
  - 若  $b_{m-1} = 1$ , 则  $b = b \oplus f(x)$ ;
  - 否则  $b = b$ ;
  - (2) 若  $a_i = 1$ , 则  $c = c \oplus b$ ;
- 3) 返回  $c$ 。

根据移位方法并行获取  $b_i$  的思想, 如表 1 所示, 考虑到最高位, 即  $b(233), b_i(233)$  都为 1, 为了表示简洁, 此处略过这项。

观察表 1, 232 个 233 位的  $b_i$ , 只与  $b, b_i(0), b_i(232)$  有关。

(1) 对于  $b_i(0)$ , 有:

$b(232) = 1$ , 则  $b_1(0) = 1$ ;  $b(232) = 0$ , 则  $b_1(0) = 0$ ;

$b_1(232) = 1$ , 则  $b_2(0) = 1$ ;  $b(232) = 0$ , 则  $b_2(0) = 0$ ;

类推;

$b_i(232) = 1$ , 则  $b_{i+1}(0) = 1$ ;  $b_i(232) = 0$ , 则  $b_{i+1}(0) = 0$ ;

所以  $b_1(0) \sim b_{158}(0)$  仅与  $b(232) \sim b(75)$  有关, 可以一次并行得到; 对于  $b_{159}(0) \sim b_{232}(0)$  与  $b_1(74) \sim b_{74}(74)$  有关。由此, 下面先讨论  $b_i(74)$  的计算, 然后再讨论  $b_{159}(0) \sim b_{232}(0)$  的求取。

表 1  $b_i$  的求取过程

数据	233 位	232 位	...	76 位	75 位	74 位	...	3 位	2 位	1 位
$b$	$b(232)$	$b(231)$		$b(75)$	$b(74)$	$b(73)$		$b(2)$	$b(1)$	$b(0)$
$b_1$	$b(231)$	$b(230)$		$b(74)$	$b_1(74)$	$b(72)$		$b(1)$	$b(0)$	$b_1(0)$
$b_2$	$b(230)$	$b(229)$		$b_1(74)$	$b_2(74)$	$b(71)$		$b(0)$	$b_1(0)$	$b_2(0)$
$b_3$	$b(229)$	$b(228)$		$b_2(74)$	$b_3(74)$	$b(70)$		$b_1(0)$	$b_2(0)$	$b_3(0)$
...	...	...		...	...	...		...	...	...
$b_{73}$	$b(159)$	$b(158)$		$b_{72}(74)$	$b_{73}(74)$	$b(0)$		$b_{71}(0)$	$b_{72}(0)$	$b_{73}(0)$
$b_{74}$	$b(158)$	$b(157)$		$b_{73}(74)$	$b_{74}(74)$	$b_1(0)$		$b_{72}(0)$	$b_{73}(0)$	$b_{74}(0)$
$b_{75}$	$b(157)$	$b(156)$		$b_{74}(74)$	$b_{75}(74)$	$b_2(0)$		$b_{73}(0)$	$b_{74}(0)$	$b_{75}(0)$
...	...	...		...	...	...		...	...	...
$b_{158}$	$b(74)$	$b_1(74)$		$b_{157}(74)$	$b_{158}(74)$	$b_{85}(0)$		$b_{156}(0)$	$b_{157}(0)$	$b_{158}(0)$
$b_{159}$	$b_1(74)$	$b_2(74)$		$b_{158}(74)$	$b_{159}(74)$	$b_{86}(0)$		$b_{157}(0)$	$b_{158}(0)$	$b_{159}(0)$
...	...	...		...	...	...		...	...	...
$b_{231}$	$b_{73}(74)$	$b_{74}(74)$		$b_{230}(74)$	$b_{231}(74)$	$b_{158}(0)$		$b_{229}(0)$	$b_{230}(0)$	$b_{231}(0)$
$b_{232}$	$b_{74}(74)$	$b_{75}(74)$		$b_{231}(74)$	$b_{232}(74)$	$b_{159}(0)$		$b_{230}(0)$	$b_{231}(0)$	$b_{232}(0)$

(2) 对于  $b_i(74)$ , 有:

$b(232) = 1$ , 则  $b_1(74) = \sim b(73)$ ;  $b(232) = 0$ , 则  $b_1(74) = b(73)$ ;

$b_1(232) = 1$ , 则  $b_2(74) = \sim b_1(73) = \sim b(72)$ ;  $b_1(232) = 0$ , 则  $b_2(74) = b_1(73) = b(72)$ ;

类推:

当  $i \leq 74$ :

$b_i(232) = 1$ , 则  $b_i(74) = \sim b(74-i)$ ;  $b_i(232) = 0$ , 则  $b_i(74) = b(74-i)$ ;

当  $i > 74$ :

$b_i(232) = 1$ , 则  $b_i(74) = \sim b_{i-74+1}(0)$ ;  $b_i(232) = 0$ , 则  $b_i(74) = b_{i-74+1}(0)$ ;

故  $b_1(74) \sim b_{158}(74)$  仅与  $b(232) \sim b(75)$  有关, 可以一次并行得到; 对于  $b_{159}(0) \sim b_{232}(0)$  以及  $b_{159}(74) \sim b_{232}(74)$ , 与  $b_1(74) \sim b_{74}(74)$  有关, 而这 74 个值也只与  $b(232) \sim b(159)$  有关, 可见  $b_i$  表格中的数据全部依赖于输入  $b$ , 故可以一次全并行得到全部的  $b_i$  值。然后将所有  $b_i$  值进行存储, 便于下面步骤中的异或操作, 最终通过计算获得模乘的运算结果。

### 2.2 二进制域模逆算法分析与改进

模逆运算是有限域算术运算中最复杂, 同时也是最耗时的, 这里我们简单的用非零元素  $a$  来表示二进制多项式  $a(x)$ 。在二进制域中, 非零元素  $a$  的逆元素是域  $GF(2^m)$  的唯一的一个元素  $g$ , 在域  $GF(2^m)$  上满足  $ag = 1$ , 即满足  $ag \equiv 1(\text{mod } f)$ 。这个逆元素用符号  $a^{-1} \text{mod } f$  表示, 也可直接表示为  $a(x)$ 。目前广泛采用的主要有基于扩展的欧几里得算法和基于费马小定理的模逆算法来实现<sup>[8]</sup>。基于费马小定理的算法是将求逆运算换成模乘和模平方运算, 算法评估完成模逆运算需要  $\log_2(m-1) + \omega(m-1) - 1$  次模乘和  $m+1$  次模平方运算<sup>[9]</sup>, 这样不仅会使软硬件的设计复杂度有所增加, 同时在运算过程中由于反复调用模乘和模平方运算, 性能也会因此大打折扣。而基于扩展的欧几里得算法因为在运算过程中只涉及到移位、判断和异或运算, 并没有大量的乘法运算, 所以比较容易硬件上的实现, 可以方便的并行化设计。因此针对目前广泛采用的欧几里得算法<sup>[10]</sup>, 进行进一步的改进, 使其可以在运算过程中同时进行求逆和取模的运算。如此, 在运算过程中同时进行移位判断的操作, 所以输入为  $m$  位的求逆运算, 最多只需  $2m$  个时钟周期就可以完成, 从而大大提高运算效率。本文采用的模逆算法如下描述:

输入: 次数不高于  $m$  的非零多项式  $a(x)$ 、 $b(x)$  和既约多项式  $f(x)$ 。

输出:  $a^{-1} \text{mod } f(x)$ 。

1)  $u = a, v = f$ ;

2) 若  $mode=0$ ,  $x1=1$ , 若  $mode=1$ ,  $x1=b$ ;  $x2=0$ 。

3) 当  $u \neq 1$  和  $v \neq 1$  时, 重复执行:

(1) 当  $u$  是偶数时, 重复执行:

$u = u/2$ ;

若  $x1$  是偶数, 则  $x1 = x1/2$ ;

否则,  $x1 = (x1 \oplus f) \ggg 1$ ;

(2) 当  $v$  是偶数时, 重复执行:

$v = v/2$ ;

若  $x2$  是偶数, 则  $x2 = x2/2$ ;

否则,  $x2 = (x2 \oplus f) \ggg 1$ 。

(3) 当  $u \geq v$ , 则  $u = (u \oplus v) \ggg 1$ ;

若  $x1$  和  $x2$  的奇偶性相同, 则  $x1 = (x1 \oplus x2) \ggg 1$ ;

若  $x1$  和  $x2$  的奇偶性不同, 则  $x1 = (x1 \oplus x2 \oplus f) \ggg 1$ 。

否则,  $v = (v \oplus u) \ggg 1$ ;

若  $x1$  和  $x2$  的奇偶性相同, 则  $x2 = (x1 \oplus x2) \ggg 1$ ;

若  $x1$  和  $x2$  的奇偶性不同, 则  $x2 = (x1 \oplus x2 \oplus f) \ggg 1$ 。

4) 若  $u = 1$ , 则返回  $(x1)$ ; 否则, 返回  $(x2)$ 。

本算法中, 添加一个 mode 模式控制位, 当  $mode=1$  时, 将初始条件变为  $x1=b$ ;  $x2=0$ , 便可以计算模除  $b/\text{amod } p$ , 可以通过 Euclidean 传统算法证明验证。如此, 通过 mode 的值选择即可完成模除或者模逆的运算, 如步骤 2 所示: 当  $mode=0$  时, 进行模逆运算,  $mode=1$  时, 进行模除的运算。通过将模除和模逆运算合并为一个运算, 电路设计中就可以复用一套电路, 再添加一些额外的条件判断电路和控制电路即可同时完成两种运算, 节省大量的操作, 从而达到节约资源, 优化电路面积的效果。

### 3 椭圆曲线点乘的 FPGA 实现

采用 Montgomery 算法实现椭圆曲线点乘运算设计主要分为三个过程: 1) 预处理模块; 2) 循环运算模块; 3) 坐标转换模块。根据 Montgomery 算法特性<sup>[11]</sup>, 在模块运算中并不涉及纵坐标  $y$  的计算, 输入仿射坐标  $p(x, y)$  和二进制数  $(k_{i-1}, \dots, k_1, k_0)_2$ 。

预处理模块主要完成数据的初始化工作, 并为下一模块的输入提供数据, 通过输入点  $P$  的仿射坐标  $(x, y)$  产生投影点  $P_1(X_1, Z_1)$ , 并调用一次倍点运算产生  $P_2(X_2, Z_2)$ , 以供循环模块使用。由于  $P1$  和  $P2$  相对应, 因此投影点  $P1$  的横坐标初值为  $X_1 = x, Z_1 = 1$ , 投影点  $P2$  的横坐标是  $P1$  经过倍点运算得到。

在第二部分的主循环运算, 是最耗时的模块, 同时也是控制部分最复杂的设计模块。主要包括移位单元以及群运算层的点加和倍点运算, 这也是点乘运算中最耗时的运算单元。当输入值  $k$  的二进制位  $k_i = 0$  时,  $(X_1, Z_1)$  作为倍点模块的输入,  $(X_1, Z_1)$  和  $(X_2, Z_2)$  作为点加模块的输入。

第三部分的坐标转换模块主要功能是在模逆运算完成后, 将投影坐标再次转换为仿射坐标。由于在第一部分的预处理模块中, 已经事先将点的仿射坐标转换为投影坐标, 所以在进行点加和倍点运算的时候就不需要再进行模逆运算, 只需要在最后一次模逆运算完成后进行坐标的逆变换即可。

根据 Montgomery 算法特点, 由于点加和倍点不存在数据相关性, 可以并行调度点加和倍点, 点加和倍点运算又同时调度有限域运算, 因此可以将这个调度过程理解为点乘对有限域运算的调度。点乘完成一次迭代运算需要调用 1 次点加和 1 次倍点, 主循环部分共需要完成  $m-1$  次迭代。在有限域调度中, 用  $M$  表示模乘时间,  $I$  表示模逆时间,  $AS$  表示模加时间, 在投影坐标下, 一次点加调用需要时间  $6M+2AS$ , 一次倍点调用  $6M+1AS$ 。所以点乘运算的一次迭代共调用 12 次模



层次的算法优化，虽然比本设计速度占优势，但是硬件资源消耗比本设计多了 48%。相对于其他设计，本设计也取得了面积和速度的较好折中，资源消耗也有明显改善，经济性上更为突出。

表 2 FPGA 设计速度比较

有限域	文献	FPGA 型号	f(Mhz)/t(ms)	面积规模 /LUTS
GF(2 <sup>233</sup> )	本设计	Xilinx Artix 7	110/2.92	9302
GF(2 <sup>233</sup> )	文献[12]	Cyclone IV EP4CE115	82/4.50	6000
GF(2 <sup>233</sup> )	文献[13]	XCV2000E-7	108/1.62	13799
GF(2 <sup>233</sup> )	文献[14]	EP2S90F1508C	NA/2.007	15280
GF(2 <sup>163</sup> )	文献[15]	StratixIII-EP3SL340H1152	177.7/1.201	8500

### 5 结束语

本文通过研究椭圆曲线有限域的算术运算，根据 ECC 的多项式的稀疏特点，提出并行的模乘思想，并改进传统的欧几里得右移求逆算法，使其可同时完成模逆和模除运算，以此为基础设计了有效的点乘电路并进行 FPGA 原型验证。实验结果表明，当数据位宽为 233 位时，只需 2.92 ms 即可完成标量乘运算。相较于其他算法，本设计大大提高了运算速度，资源消耗较少，取得了面积和速度的较好折中，在已公开的文献中性价比较高。尽管本文采用的模多项式是三项式基，但对于其他多项式基同样适用，同时只需修改电路设计输入的参数值即可实现其他不同位宽数据的要求，保证了设计的有效性、通用性和可研究性。

#### 参考文献:

[1] 赖忠喜, 陶东娅, 张占军. GF(2<sup>n</sup>) 域椭圆曲线密码体制中快速标量乘算法的研究 [J]. 计算机应用与软件, 2014, 31 (8): 324

(上接第 227 页)

```

p_partkey = ps_partkey
and s_suppkey = ps_suppkey
and s_nationkey = n_nationkey
and n_regionkey = r_regionkey
and r_name = 'MIDDLE EAST'
)
order by s_acctbal desc, n_name, s_name, p_partkey limit 100;

```

Q2 语句包含复杂的如聚焦操作、子查询、排序及多表联合查询等复杂的查询逻辑，不可避免地随着数据量的增大可能会对性能造成影响。但这类复杂查询逻辑一般应用在统计分析业务系统中，根据统计系统的非实时性特点，得出测试结果同样控制在 NCC 可接受的范围中的结论。可见在大部分应用场景的情况下，Hadoop 平台都能完美地解决问题，并在数据急剧扩张的情况下都能保持良好的性能。

### 5 结语

不同于传统的基于 MPP 数据仓库建立的数据中心，本方案提出的基于 Hadoop 的数据中心建设方案，具有很强的技术先进性，支持结构化，半结构化，非结构化各类数据的存储和

- 326.

[2] 谢天艺. 素数域椭圆曲线密码 SoC 的设计与实现 [D]. 杭州: 浙江大学, 2015.

[3] 赖忠喜, 张占军, 陶东娅. 椭圆曲线底层域快速算法的研究 [J]. 计算机工程与应用, 2014, 50 (3): 67-70.

[4] 赖忠喜, 张占军. 椭圆曲线底层域快速算法的优化 [J]. 计算机工程与应用, 2015, 51 (22): 115-118.

[5] 张莉华, 蔺 莉. 一种安全高效的椭圆曲线密码抗功耗攻击算法 [J]. 测控技术, 2016, 35 (8): 118-121.

[6] 胡诗玮, 徐和根. 有限域 GF(2~(256)) 上椭圆曲线密码算法的硬件设计 [J]. 机电一体化, 2015, 21 (2): 71-75.

[7] 郑建宏, 周 亮. 椭圆曲线加密算法在卫星通信中的应用 [J]. 信息通信, 2016, 31 (02): 209-210.

[8] 石亚娟, 黄辉辉, 陈建华. 基于智能卡的动态身份认证协议 [J]. 电子技术应用, 2015, 41 (3): 97-100.

[9] 尹 恒. ECC 标量乘算法在抗边信道攻击上的应用研究 [D]. 贵阳: 贵州大学, 2015.

[10] 白永祥. 椭圆曲线密码算法在 VPN 安全握手中的应用 [J]. 电子设计工程, 2015, 23 (13): 18-20.

[11] 郭高峰, 崔强强. 基于 GF(2~m) 的椭圆曲线求逆算法的改进研究 [J]. 现代电子技术, 2014, 37 (18): 19-22.

[12] 操志辉. GF(2~m) 域上 ECC 标量乘的设计与 FPGA 实现 [D]. 武汉: 武汉理工大学, 2014.

[13] Urbano-Molano F A, Trujillo-Olaya V, Velasco-Medina J. Design of an elliptic curve crypto processor using optimal normal basis over GF(2233) [A]. 2013 IEEE Fourth Latin American Symposium on Circuits and Systems (LASCAS) [C]. Cusco: IEEE, 2013: 1-4.

[14] 田 伟, 刘爱军, 申卫昌. 基于梳状算法的椭圆曲线密码标量乘改进方案 [J]. 微电子学与计算机, 2015, 32 (5): 99-103.

[15] 王云峰, 王 静, 黄世伟. 一种两路并行调度的点乘算法硬件实现 [J]. 新型工业化, 2014, 4 (7): 20-27.

查询，支持批量，实时各类数据采集方式，在软件层面提高了数据的存储计算可靠性，同等计算能力的情况下，成本比传统的 MPP 数据仓库低廉，解决了使用数据仓库建设数据中心扩容难，成本高，维护困难的缺点。越来越多的科技企业如华为、浪潮、Cloudear 及谷歌等都加入到了 Hadoop 相关产品的研究和开发中，使得 Hadoop 生态圈的不断发展，Hadoop 产品也趋于稳定。国内北京地铁就正实施将以前基于数仓建设的数据中心迁移到 Hadoop 平台中，也证明了 Hadoop 的优势。基于 Hadoop 数据中心的数据挖掘，分析将给地铁运营带来巨大的价值，提高地铁运行的稳定性和运行效率，更好地服务乘客。

#### 参考文献:

[1] 陈达伦, 陈荣国, 谢 炯. 基于 MPP 架构的并行空间数据库原型系统的设计与实现 [J]. 地球信息科学, 2016 (2): 151-159.

[2] 王德文. 基于云计算的电力数据中心基础架构及其关键技术 [J]. 电力系统自动化, 2016 (11): 67-71, 107.

[3] 丁泽柳, 郭得科, 申建伟, 等. 面向云计算的数据中心网络拓扑研究 [J]. 国防科技大学学报, 2011 (6): 1-6.